

北海道大学工学部 正員 佐伯 昇
高田宣之

1. まえがき

コンクリート中にあけた鉄筋の応力の分担は、コンクリートにひびわれが発生する前は小さく、鉄筋による応力はあまりない。すなはち、ひびわれが発生する前では鉄筋コンクリートは無筋コンクリートとほぼ同じ挙動をする。さらに荷重が増大し、塑性的状態あるひびわれが発生して、ひびわれ開口変位が生ずると、鉄筋の近傍のひびわれ幅が増大し、鉄筋はこれらのコンクリートの変位に対して拘束する働きをしながら、応力の分担を發揮する。このように鉄筋の作用よりは効果的補強について把握するためには、コンクリートのひびわれ発生、開口変位あるひびわれの近傍の塑性域を調べることが基礎となる。本研究ではひびわれ基本モードⅠ、すなはちひびわれの長さ方向にせん断応力が作用する場合のモードを考へ、さらにこれにひびわれが閉じる方向に圧縮応力が作用する組合せ応力状態についてこの実験を行つた。その結果、ひびわれ発生荷重、ひびわれ開口変位、ひびわれ先端近傍の塑性域および破壊荷重特性について基礎的な資料を得られた。

2. 実験方法

供試体材料はセメントに普通ポルトランドセメント、粗骨材に錦岡海岸砂（比重2.79、吸水率1.05%，単位容積重量1865kg/m³、粗粒率2.33）、細骨材には静内川産小砂利（比重2.76、吸水率0.63%，単位容積重量1698kg/m³、粗粒率5.61）を用いた。配合はセメント・ペースト、モルタルおよびコンクリートの3種で、セメントCCMはセメント50%である。モルタルの砂セメント比2.0、コンクリートの細骨材率は44%である。

供試体寸法は図-1に示すように $5 \times 15 \times 28\text{ cm}^3$ 、中央に傾き $\theta = 0^\circ, 15^\circ, 30^\circ, 45^\circ, 60^\circ, 75^\circ$ および 90° を有するスリット（厚さ3mmで、先端は鋭角である。 $2a = 3.0\text{ cm}$ が大部分で、一部 $2b = 2.0\text{ cm}$ 、一定にして $2a = 4.2\text{ cm}$ （ $\theta = 45^\circ$ ）、 6.0 cm （ $\theta = 60^\circ$ ）、 11.6 cm （ $\theta = 75^\circ$ ）があり）が人工ひびわれとしてある。スリットの型枠はバルサ材を用い、先端は約33°の鋭角にナイフおよびサンダペーパーで仕上げ、剥離剤を塗って鋼製型枠内に設置して打設した。バルサ材は強度的に弱いものであるから、埋め込まれた状態で実験を行つた。打設後24時間脱型後、ビニールシートで保湿養生し、その後材令28日間は水槽中（20°C）で養生を行つた。供試体のコンクリートの性質を表-1に示した。

実験は材令28日で行つた。ペーストは水槽から出して、直ちに実験を行つて、ひびわれ荷重と破壊荷重のみ測定した。モルタルおよびコンクリートは1~2時間後、表面が乾燥してから、ひびわれ開口変位を測定するためのコンタクトゲージの標点（図-6Aに示すように、間隔2.0cmで、ひびわれ伝播がほぼ直角に接する位置に、上下先端および表面計4箇所）およびひびわれ先端の塑性域を測定するためには、供試体の一端にストレンゲージを貼つた。供試体と載荷板との摩擦の影響を除くためにテフロンシートおよびシリコングリースを用いた。ひびわれの観察はアセットを塗布する方法および拡大鏡によつた。

3. 実験結果および考察

図2~4はひびわれ発生および破壊荷重を示したもので、図2aペーストでは $\gamma_{\text{cc}} = 0.58 \sim 1.73$ でスリット・影響が大きく、スリット無しの

表-1 供試体材料の性質

記号	材料	γ_{cc}	E t/cm^2	$G_{28} = G_c$ kg/cm^2
P _{0.5}	セメント	0.5	145	438
M _{0.5}	モルタル	0.5	260	377
C _{0.5}	コンクリート	0.5	361	440

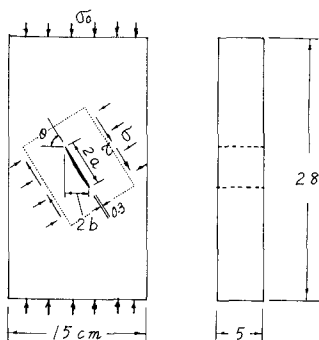
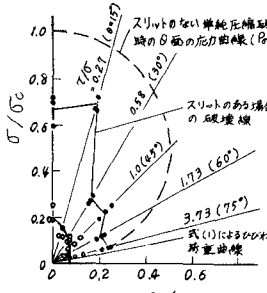
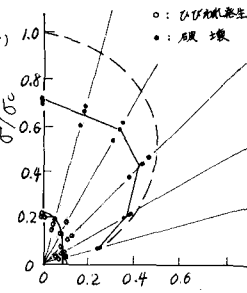
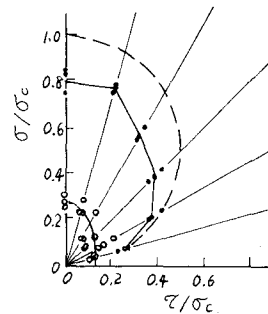
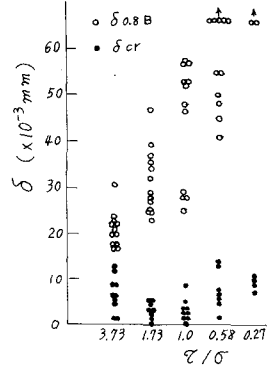


図-1 供試体

図-2 ひびわれ発生および破壊 (P_0/ϵ_0)図-3 ひびわれ発生および破壊 ($M_{0.5}$)図-4 ひびわれ発生および破壊 ($C_{0.5}$)図-5 ひびわれ開口変位 ($M_{0.5}$)

破壊包絡線による破壊荷重 (P_{0c}) は式 1 で、スリット有り。破壊荷重は約 $0.42 P_{0c}$ に低下した。
ひびわれ荷重は $\sigma_0 = 0 \sim 3.93$ で $0.1 \sim 0.3 P_{0c}$ であった。ひびわれ荷重の算定式と 1 次式を用いた。

$$\frac{\sigma_{cr}^2}{(\frac{\sigma}{\mu})^2} + \frac{C_{cr}}{\mu^2} = 1 \quad \dots \dots \dots (1)$$

$\therefore \bar{\alpha} = \sqrt{G/E/\mu}$, μ は圧縮応力がひびわれに影響する係数, G は破壊剛性に対応するもので、実験値より G , μ を最小二乗法で求めた。各々 0.033 kN/cm , 0.37 となつた。(1) 式はひびわれ荷重とより対応を示す。図-3 はモルタルの場合で、スリット有りの破壊荷重は $\sigma_0 = 0.13 \sim 3.93$ と大きくなり、 $0.7 \sim 0.9 P_{0c}$ となり、ひびわれは $0.2 \sim 0.4 P_{0c}$ から発生した。
モルタルの G が 0.024 kN/cm , 0.43 となつた。図-4 はコンクリートの場合でモルタルとはほぼ同じ性能が示す。モルタルの G が 0.045 kN/cm , 0.49 となつた。ひびわれが発生する応力レベルは ≈ 0.1 で、モルタル、コンクリートともほぼ同じである。破壊応力レベルはモルタルヒコーキー率 ≈ 1.1 でモルタルは ≈ 1.0 で、これらに対するコンクリートヒコーキー率の差は大きい。図-5 はコンクリートに沿って開口変位を測定したもので、ひびわれ発生時が δ_{cr} 、破壊荷重の 0.8 倍の荷重時で測定したのが $\delta_{0.8B}$ である。 δ_0 が大きくなるほど繰り返して δ_{cr} と $\delta_{0.8B}$ の差が小さくなり、鉄筋などの補強効果が少なくなまるほど減少する。図-6 はコンクリートの開口変位の場合で、全体としてモルタルより少しあるが、性状によつて傾向を示す。
図-7 は θ を一定とし、スリットの長さを変化させた時のひびわれ発生荷重を調べたものである。 $\theta = 45^\circ$ で $2a = 3.0 \text{ cm}$ と 4.2 cm ($= 2a'$ 以下同じ), $\theta = 60^\circ$ で $2a = 3.0 \text{ cm}$ と 6.0 cm , $\theta = 75^\circ$ で $2a = 3.0 \text{ cm}$ と 11.6 cm である。各々 μ_{cr} ひびわれ発生荷重を σ_{cr} , σ_{cr}' と $\sigma_{cr}' < \sigma_{cr}$ の比は $\sqrt{\frac{a'}{a}}$ と反比例する性状を示す。

図-8 A は $M_{0.5}$ で $\theta = 60^\circ$, $2a = 6.0 \text{ cm}$ の場合のひびわれ先端の塑性域を計算したものである。Mises の条件を用い、降伏応力をしてひびわれ荷重(P_{0c})を用いると塑性域は下式のようになる。

$$Y \leq \frac{1}{2} \left(\frac{\sigma}{\sigma_{cr}} \right)^2 \alpha (\alpha_1 \cos^4 \theta + \alpha_2 \sin^2 \theta \cos^2 \theta + \alpha_3 \cos^2 \theta \sin^2 \theta) \dots (2)$$

$$\alpha_1 = \cos^2 \frac{\theta}{2} (1 + 3 \sin^2 \frac{\theta}{2}), \quad \alpha_2 = 3 - 8 \sin^2 \frac{\theta}{2} + 9 \sin^4 \frac{\theta}{2}, \quad \alpha_3 = 2 \sin \theta (1 - 3 \sin^2 \frac{\theta}{2})$$

σ_{cr} は図8A から分るよろしく 18.13 kN/cm^2 である。図-8 C の N.O.1 および N.O.2 の垂に塑性的性状が見られ、ほぼ(2)式に対応している。ひびわれ先端にスリット長さの $1/6$ 程度の半径のゾーンに塑性域が発生し、それ以上の荷重がかかると、ひびわれが伝播し、その塑性域は消失する。

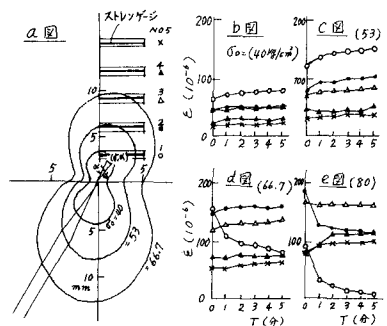


図-8 ひびわれ先端の塑性域